

# Магнитные свойства твердого кислорода под давлением (Обзор)

Ю.А. Фрейман

*Физико-технический институт низких температур им. Б.И. Веркина НАН Украины  
пр. Ленина 47, г. Харьков, 61103, Украина  
E-mail: freiman@ilt.kharkov.ua*

Статья поступила в редакцию 10 июля 2015 г., опубликована онлайн 25 сентября 2015 г.

Твердый кислород — уникальный кристалл, сочетающий свойства молекулярного кристалла и магнетика. В отличие от обычных магнетиков, обменное взаимодействие в твердом кислороде реализуется на фоне слабых ван-дер-ваальсовых взаимодействий и составляет, тем самым, значительную часть энергии кристалла. Это приводит к богатой  $P-T$  фазовой диаграмме и к многочисленным аномалиям термодинамических, кинетических, оптических и магнитных свойств твердого кислорода.  $\alpha\text{-O}_2$ , низкотемпературная фаза низких давлений, является неелевским коллинеарным двухподрешеточным магнетиком. При давлениях  $\sim 6$  ГПа  $\alpha\text{-O}_2$  переходит в  $\delta\text{-O}_2$ , в котором с повышением температуры реализуются три различные магнитные структуры. При давлениях  $\sim 8$  ГПа происходит переход в  $\epsilon\text{-O}_2$ . При этом переходе молекулы  $O_2$  объединяются в кластеры  $(O_2)_4$ , что сопровождается магнитным коллапсом. В настоящем обзоре описывается эволюция магнитной структуры с ростом давления и анализируются причины, которые лежат в основе этой эволюции.

Твердий кисень — унікальний кристал, що поєднує властивості молекулярного кристала та магнетика. На відміну від звичайних магнетиків, обмінна взаємодія в твердому кисні реалізується на фоні слабких ван-дер-ваальсовых взаємодій і складає, тим самим, значну частину енергії кристала. Це призводить до багатші  $P-T$  фазової діаграми і до численних аномалій термодинамічних, кінетичних, оптических та магнітних властивостей твердого кисню.  $\alpha\text{-O}_2$  — низькотемпературна фаза низьких тисків є неєлевським колінеарним двогратковим магнетиком. При тисках  $\sim 6$  ГПа  $\alpha\text{-O}_2$  переходить у  $\delta\text{-O}_2$ , в якому з підвищенням температури реалізуються три різні магнітні структури. При тисках  $\sim 8$  ГПа відбувається перехід в  $\epsilon\text{-O}_2$ . При цьому переході молекули  $O_2$  об'єднуються в кластери  $(O_2)_4$ , що супроводжується магнітним колапсом. У цьому огляді описується еволюція магнітної структури із зростанням тиску та аналізуються причини, які лежать в основі цієї еволюції.

PACS: 61.50.Ks Кристаллографические аспекты фазовых превращений; влияние давления;  
**62.50.-p** Эффекты высокого давления в твердых телах и жидкостях.

Ключевые слова: твердый кислород, магнитные структуры, кластеры.

*Автор посвящает этот обзор Вадиму Михайловичу Локтеву,  
внесшему огромный вклад в разработку современных представлений  
об оптике и магнетизме кислорода, в связи с его семидесятилетием!*

## Содержание

Введение .....	1084
1. Магнитные свойства $\delta$ -фазы твердого кислорода .....	1085
2. Теория магнитной структуры $\delta\text{-O}_2$ .....	1089
3. Магнитный коллапс в $\epsilon$ -фазе .....	1090
4. Структура $\epsilon$ -фазы .....	1092
5. Теоретические исследования магнитных свойств $\epsilon$ -фазы .....	1093
Заключение .....	1095
Литература .....	1095

## Введение

Кислород является третьим по распространенности элементом в природе после водорода и гелия и наиболее распространенным элементом в земной коре и океанах. Солнце имеет довольно высокое содержание кислорода. Выраженное в виде атомного отношения O/H, оно составляет  $\sim 0,05\%$ . Исследование свойств кислорода является важнейшей частью всех естественных наук — физики, химии и биологии.

В конденсированном состоянии кислород впервые был получен польскими физиками Врублевским (Wróblewski) и Ольшевским (Olszewski) в конце XIX века (см. [1]). Первое исследование твердого кислорода — измерение температуры затвердевания было также выполнено в Польше [2]. К настоящему времени  $P-T$  фазовая диаграмма твердого кислорода (рис. 1) исследована в области давлений до 140 ГПа (1 ГПа =  $10^4$  бар) и температур до 2000 К [3–5].

Установлено существование по крайней мере 8 твердотельных фаз. При давлении  $\sim 100$  ГПа и комнатных температурах кислород переходит в металлическое состояние [7], которое при  $T_c = 0,6$  К становится сверхпроводящим [8]. Расчеты *ab initio* показали [9], что молекулярное состояние сохраняется до давлений  $\sim 1,9$  ТПа (1 ТПа =  $10^3$  ГПа). Детальный обзор исследований свойств твердого кислорода [6], опубликованный в 2004 г., дает достаточно полную картину состояния исследований структурных, термодинамических, оптических и магнитных свойств, выполненных на протяжении всего XX века (список цитированных работ содержит свыше 400 ссылок).

Полная расшифровка структуры низкотемпературных  $\alpha$ - и  $\beta$ -фаз была проведена в рентгеновских исследованиях Барретта, Мейера и Вассермана [10]. Структура моноклинной  $\alpha$ -фазы приведена на рис. 2(а). Наличие у кислорода магнитных свойств обнаружил впервые Фарадей, который открыл, что газообразный кислород является парамагнетиком [11]. Парамагнит-

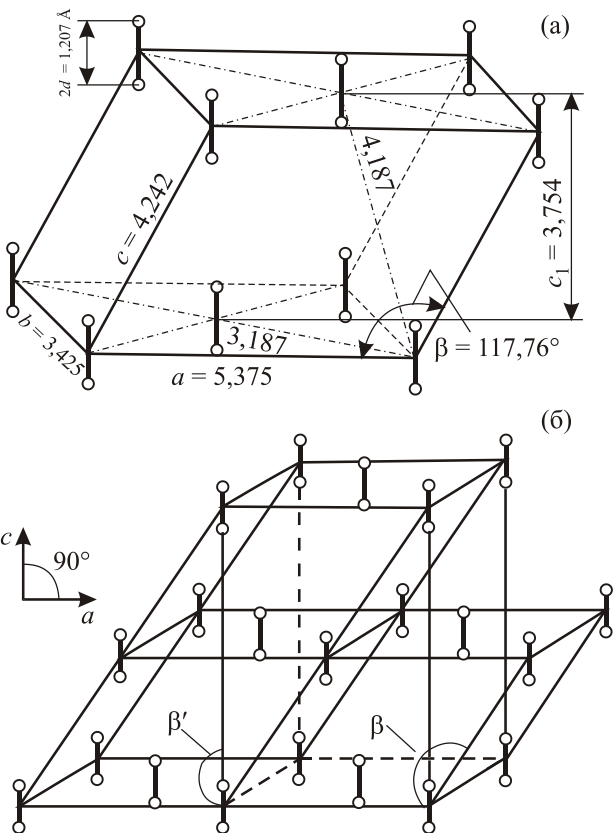


Рис. 2. Структура  $\alpha$ - $O_2$  [6] (а). Структура  $\delta$ - $O_2$  [6] (б).

ную природу жидкого кислорода обнаружил Дьюар [12]. Первые измерения магнитной восприимчивости твердого кислорода были проведены в Лейденской лаборатории Каммерлинг-Оннесом и Перриером [13]. Вывод о магнитоупорядоченной природе низкотемпературной  $\alpha$ -фазы на основе энтропийных соображений был сделан Джиком и Джонстоном [14] и подтвержден в нейтронографических исследованиях Алиханова [15] и Коллинза [16]. Коллинз установил также, что в  $\beta$ -фазе дальний магнитный порядок отсутствует, но имеется сильный ближний магнитный порядок [16]. Трехподрешеточная  $120^\circ$ -структурная ближнего магнитного порядка  $\beta$ -фазы была теоретически предложена Локтевым [17], и в литературе по кислороду получила название структуры Локтева [6]. Как было показано Локтевым, эта структура обеспечивает наиболее низкое значение энергии системы классических антиферромагнитно взаимодействующих спинов на двумерной треугольной решетке. Оказалось, что такая структура обладает рядом нетривиальных свойств (см. [6], раздел 6.7.2).

Двухподрешеточная коллинеарная магнитная структура  $\alpha$ -фазы (рис. 3) была установлена нейтронографически Алихановым [18]. Крупский и др. [19,20] показали, что  $\alpha$ - $O_2$  является квазидвумерным магнетиком, т.е. для констант  $J_1$  и  $J_2$ , внутривысотных констант меж- и внутривысоточного обменного взаимодействия, и  $J_3$  — константы межплоскостного обменного

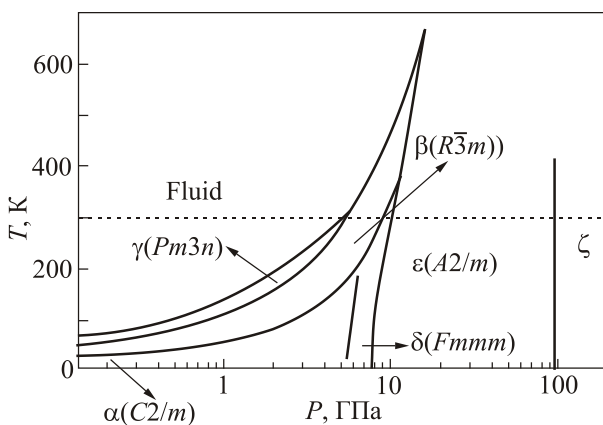


Рис. 1. Низкотемпературная часть фазовой диаграммы твердого кислорода. Не показаны области существования высокотемпературных фаз  $\eta$  и  $\eta'$  [6].

взаимодействия, выполняется неравенство  $J_1, J_2 \gg J_3$ . Теоретические модели с тремя константами обменного взаимодействия (показаны на рис. 3) позволили описать практически всю совокупность магнитных свойств  $\alpha\text{-O}_2$ .

Слюсарев и др. [21] определили из термодинамических и оптических свойств константы обменного взаимодействия и рассчитали вклад магнитной подсистемы в энергию кристалла. Результаты этого расчета показали, что «твердый кислород является уникальным объектом, сочетающим свойства молекулярного кристалла и магнетика. В отличие от обычных магнетиков, обменное взаимодействие в твердом кислороде проявляется на фоне слабых ван-дер-ваальсовых сил и поэтому составляет значительную долю полной энергии решетки. В результате магнитные и решеточные свойства твердого кислорода чрезвычайно тесно связаны, что проявляется и в очень богатой фазовой диаграмме и многочисленных аномалиях тепловых, магнитных и оптических свойств» [6].

Первое исследование кислорода при давлениях до  $\sim 10$  ГПа с использованием алмазной наковальни было проведено Николем, Хиршем и Хольцапфелем [22]. Они обнаружили новую фазу, которая из-за характерного цвета была названа оранжевой (“orange”  $\text{O}_2$ ), и вслед за тремя фазами низкого давления, обозначаемыми как  $\alpha$ -,  $\beta$ -,  $\gamma\text{-O}_2$ , получила обозначение  $\delta\text{-O}_2$ . В рентгеновском исследовании, выполненном при комнатных температурах Шифферлом и др. [23], структура этой фазы (рис. 2(б)) была идентифицирована как  $Fm\bar{m}m$ . Трансформация моноклинной  $\alpha$ -фазы в орторомбическую  $\delta$ -фазу происходит путем малого сдвига плотноупакованных  $ab$ -плоскостей. Пространственная структура остается квазидвумерной, и центры тяжести молекул в обеих фазах расположены в узлах слабо деформированных гексагональных ячеек. В точке  $\alpha$ - $\delta$  перехода угол  $\beta'$  (рис. 2(б)) обращается в  $90^\circ$ . Важной чертой  $\alpha$ -,  $\beta$ - и  $\delta\text{-O}_2$ , является параллельное расположение молекул, которое обычно объясняется сильным вкладом обменного взаимодействия в анизотропную часть межмолекулярного потенциала.

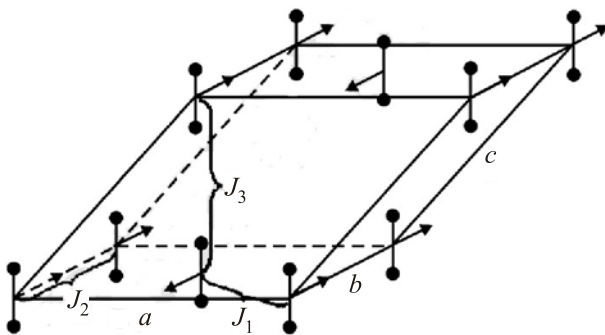


Рис. 3. Модель магнитной структуры  $\alpha\text{-O}_2$  с тремя константами обменного взаимодействия.  $J_1$  и  $J_2$  — внутриплоскостные константы меж- и внутриподрешеточного,  $J_3$  — межплоскостного обменного взаимодействий [6].

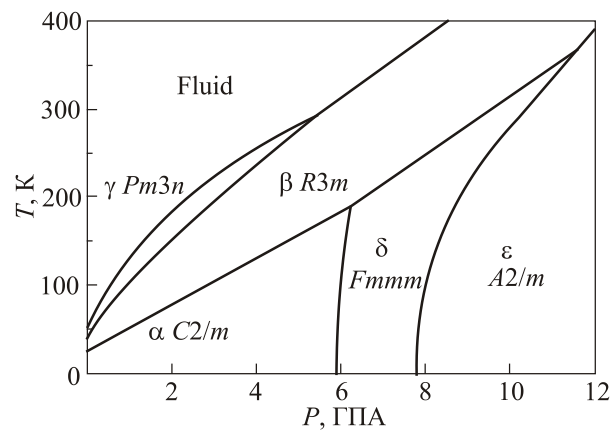


Рис. 4. Фазовая диаграмма твердого кислорода в  $P$ - $T$  области существования магнитных фаз.

Помимо обнаружения  $\delta$ -фазы, в этой же работе [22] авторы впервые описали наблюдавшийся визуально фазовый переход  $\delta$ - $\epsilon$ . При комнатных температурах и давлении  $\sim 10$  ГПа твердый кислород изменял цвет от светло-оранжевого цвета  $\delta\text{-O}_2$  до темно-красного цвета новой фазы, которой присвоено название  $\epsilon\text{-O}_2$ . Область стабильности «красного кислорода» простирается вплоть до давлений 96 ГПа, где происходит переход в металлическую  $\zeta$ -фазу.

Настоящий обзор посвящен результатам исследований магнитных свойств фаз высокого давления. Фазовая  $P$ - $T$  диаграмма в области существования магнитных фаз показана на рис. 4.

## 1. Магнитные свойства $\delta$ -фазы твердого кислорода

Наиболее важный вопрос, который возник сразу после обнаружения  $\delta$ -фазы и определения ее пространственной структуры, был вопрос о ее магнитной природе. В отличие от  $\alpha$ -фазы, для которой этот вопрос решался прямыми измерениями магнитных свойств (магнитная восприимчивость, частоты АФМР, нейтронографические измерения магнитной структуры), для  $\delta$ -фазы нейтронографические измерения в алмазной наковальне стали доступны только четверть века спустя после обнаружения фаз высокого давления.

Даже в отсутствие прямых экспериментальных данных в литературе существовал консенсус, что в магнитном отношении  $\delta\text{-O}_2$  и  $\alpha\text{-O}_2$  очень близки, поскольку близки пространственные структуры гексагональных базисных  $ab$ -плоскостей в обеих фазах. На это, в частности, указывает моноклинное искажение гексагональной базисной плоскости  $\delta\text{-O}_2$ , (отклонение отношения параметров решетки  $b/a$  от значения  $\sqrt{3}$ ), которое в случае  $\alpha$ -фазы позволило определить величину и знак константы внутриподрешеточного обменного взаимодействия [6,20].

Мощным инструментом исследования магнитного упорядочения в твердом кислороде является ИК спектроскопия. Присутствие пиков ИК поглощения на частоте внутримолекулярного колебания действительно связано с дальним антиферромагнитным порядком молекулярных спинов. Наличие дальнего магнитного порядка приводит к удвоению кристаллографической элементарной ячейки. Без такого удвоения молекулярный колебательный спектр не был бы активен в спектрах ИК поглощения, а был бы активным только в рамановском спектре. В результате ИК поглощение колебаний является непрямым, но чувствительным зондом для исследования антиферромагнитного порядка в  $\alpha$ - и  $\delta$ -фазах.

Большой объем информации был получен в оптических исследованиях группы Бини из Европейского института нелинейной оптики (Флоренция) [24, 25]. Результаты этих исследований отражены в обзоре [6] (см. разделы 6.8 и 8.3). В частности, из данных FTIR (фурье-трансформ ИК) спектроскопии была получена информация о зависимости констант обменного взаимодействия  $\delta$ -фазы от давления, а также температурной зависимости параметров дальнего и ближнего магнитного порядка, исследованная, как отражается на спектроскопических характеристиках, потеря дальнего магнитного порядка при  $\delta$ - $\beta$  переходе. На основе данных о зависимости параметров решетки  $\delta$ -фазы от давления [25] в работе [26] была получена зависимость величины обменного поля  $\delta$ -фазы от давления и оценена температура Неселя, которая совпала с температурой  $\delta$ - $\beta$  перехода.

Первое нейтронографическое исследование твердого кислорода под давлением было проведено Гончаренко, Макаровой и Уливи [27]. Сжатие образца размером  $\sim 0,5 \text{ mm}^3$  осуществлялось в наковальне, выполненной из сверхтвердого нитрида бора.

На нейтронограммах  $\delta\text{-O}_2$ , снятых при  $P = 6,2 \text{ ГПа}$  и  $T < 100 \text{ K}$ , был обнаружен пик, индексированный как (100), отсутствующий на рентгенограммах и не принадлежащий  $\alpha\text{-O}_2$ . При повышении температуры и переходе в  $\alpha$ -фазу этот пик исчезает (рис. 5). Наблюдение магнитного пика послужило прямым доказательством антиферромагнитной природы  $\delta\text{-O}_2$ .

Поскольку структуры  $\alpha$ - и  $\delta\text{-O}_2$  очень близки и могут быть описаны с помощью одной и той же моноклинной элементарной ячейки, можно было ожидать, что и магнитные структуры окажутся близкими. Сравнение нейтронограмм двух фаз показало, что магнитные структуры  $\alpha\text{-O}_2$  (рис. 3) и  $\delta\text{-O}_2$  совершенно различны. При этом магнитные структуры плотноупакованных плоскостей в обеих фазах одинаковы, т.е., как и в  $\alpha$ -фазе, магнитные моменты в  $\delta$ -фазе направлены вдоль оси  $b$ .

Обработка дифракционной картины, представленной на рис. 6, показала, что вместо антиферромагнитного взаимодействия ближайших соседей в соседних

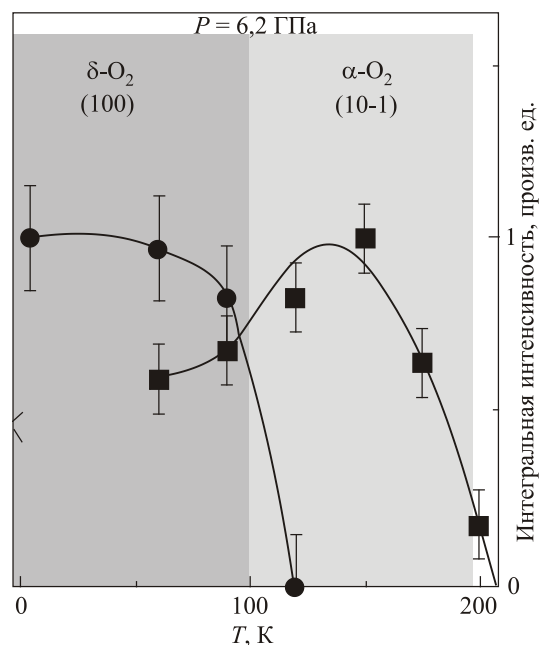


Рис. 5. Температурные зависимости интегральной интенсивности магнитных пиков (10-1)  $\alpha$ -фазы и (100)  $\delta$ -фазы [27].

плотноупакованных плоскостях в  $\alpha$ -фазе, в  $\delta$ -фазе взаимодействие таких соседей имеет ферромагнитный характер (рис. 6, вставка).

Повторное нейтронографическое исследование  $\delta\text{-O}_2$  было проведено Клотцем и др. [28]. По сравнению с предыдущим нейтронным исследованием [27] интенсивность пучка была повышена на несколько порядков и более чем на два порядка увеличены размеры образ-

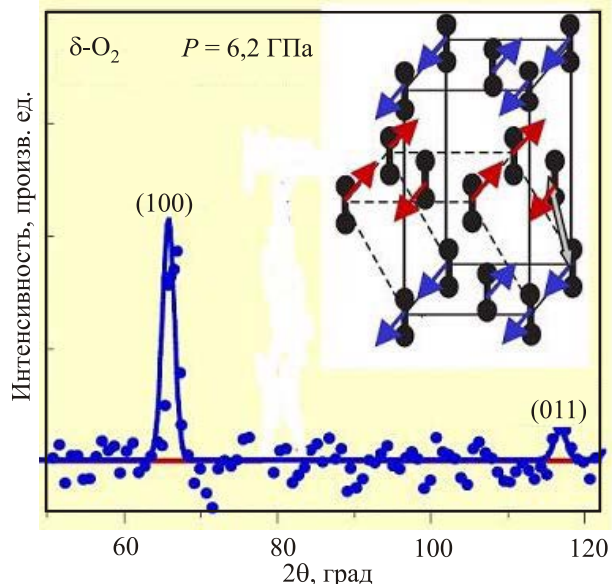


Рис. 6. (Онлайн в цвете) Экспериментальная (точки) и расчетная интенсивность (линия) магнитного рассеяния для магнитной структуры, показанной на вставке. Двойной стрелкой показаны ближайшие соседи в соседних плоскостях с ферромагнитным характером взаимодействия [27].

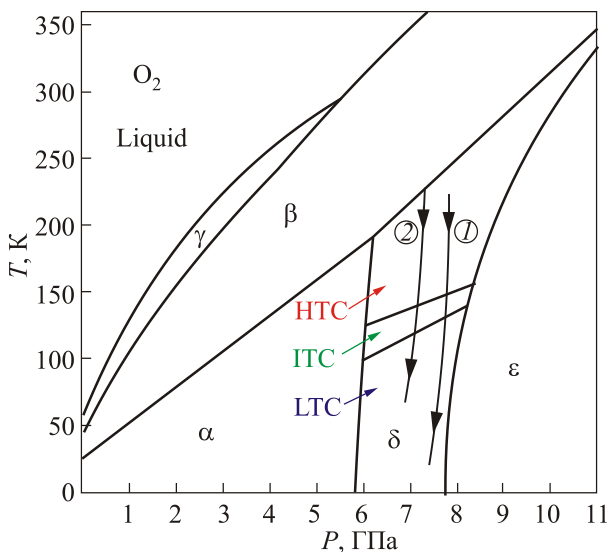


Рис. 7. Траектории на  $P$ - $T$  фазовой диаграмме кислорода, вдоль которых снимались нейтронографические данные (тонкие линии) [28].

ца, которые составили  $\sim 70$  мм<sup>3</sup>. Это позволило провести исследования магнитной и пространственной структуры  $\delta$ -O<sub>2</sub> в интервале температур 20–240 К и давлений 6–8 ГПа, охватывающих область существования этой фазы между фазовыми границами  $\alpha$ – $\delta$  и  $\delta$ – $\varepsilon$  переходов. Траектории, вдоль которых были получены нейтронографические данные, показаны на фазовой диаграмме (рис. 7). Нейтронографические данные (рис. 8), полученные при сканировании  $P$ - $T$  области вдоль указанных траекторий, позволили идентифицировать существование трех различных магнитных структур, названных соответственно HTC (high temperature commensurate) высокотемпературной соизмеримой, ITC (intermediate temperature commensurate) среднетемпературной соизмеримой и LTC (low temperature commensurate) низкотемпературной соизмеримой  $\delta$ -фазами (рис. 9). Магнитная структура HTC фазы оказалась близкой к магнитной структуре  $\alpha$ -O<sub>2</sub>. При охлаждении до 149 К эта структура исчезает и появляется магнитная структура ITC. Эта структура существует в узком интервале температур  $\sim 20$  К и при 132 К переходит в структуру LTC, которая ранее была идентифицирована в нейтронографических исследованиях Гончаренко и др. [27]. Такая же картина чередования фаз наблюдалась вдоль траектории 2, сдвинутой вниз по давлению на  $\sim 0,5$  ГПа. Ни один из этих переходов не оказывал заметного влияния на пространственную структуру. Таким образом, взаимосвязь между пространственными и спиновыми степенями свободы зафиксирована не была.

Учитывая близость пространственных структур  $\alpha$ - и  $\delta$ -O<sub>2</sub>, соотношения внутри- и межплоскостных констант обменного взаимодействия  $J_1$ ,  $J_2$  близки, и про-

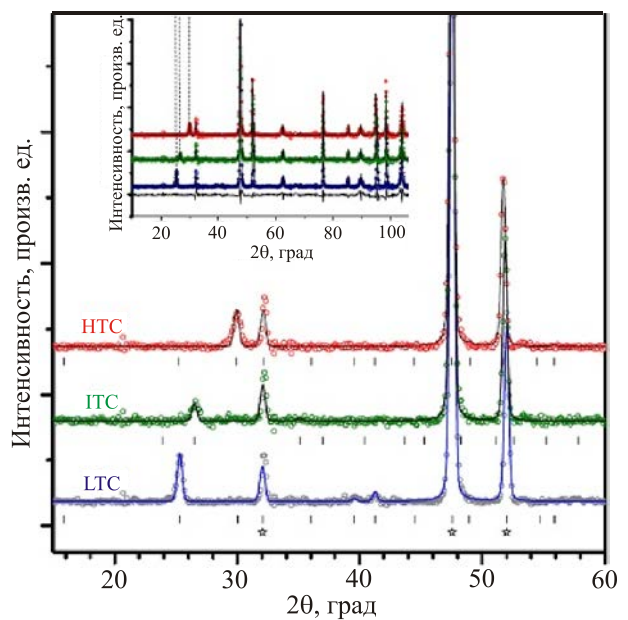


Рис. 8. (Онлайн в цвете) Порошковые нейтронограммы  $\delta$ -фазы O<sub>2</sub> в области существования LTC, ITC и HTC магнитных фаз [28].

блема магнитной структуры  $\delta$ -O<sub>2</sub> сводится к определению ориентаций спинов в плоскостях и характера упаковки плоскостей вдоль направления <001>. Исследование магнитных отражений показало, что  $z$ -компоненты спинов можно полагать равными нулю, т.е. считать, что спины лежат в  $ab$ -плоскостях и, как и в

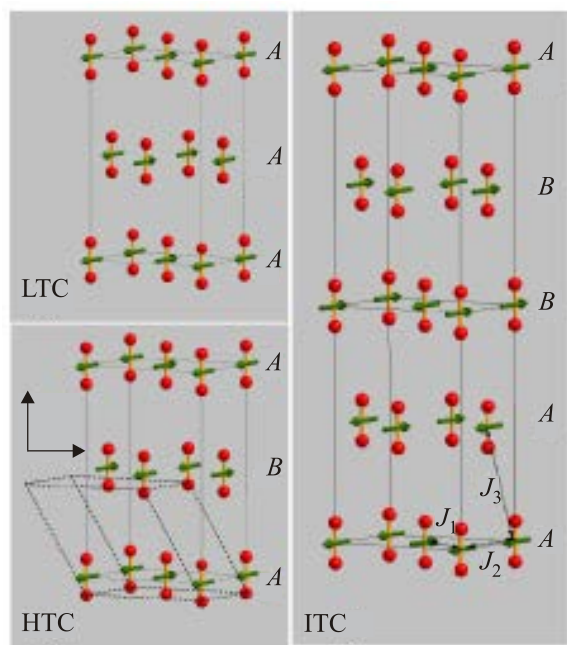


Рис. 9. (Онлайн в цвете) HTC, ITC, LTC магнитные структуры  $\delta$ -O<sub>2</sub>. Пунктиром показана элементарная ячейка  $\alpha$ -O<sub>2</sub>. Символы  $A$  и  $B$  — последовательность чередования магнитных структур.  $J_1$ ,  $J_2$ ,  $J_3$  — внутри- и межплоскостные константы обменного взаимодействия [28].

случае  $\alpha\text{-O}_2$ , ориентированы вдоль оси  $b$ . Межплоскостная магнитная структура определяется тем, каков характер межплоскостного магнитного взаимодействия — ферромагнитный или антиферромагнитный. В случае ферромагнитного это будет последовательность типа  $A-A-A$ , а в случае антиферромагнитного —  $A-B-A$ . Первый случай соответствует LTC структуре, второй HTC (рис. 9). Идентификация ITC структуры оказалась сложнее. Нейтронограмма указывает, что пространственная структура этой фазы имеет удвоенный период вдоль  $c$ -оси по сравнению с LTC и HTC структурами. Анализ интенсивностей показал, что из четырех возможных структур типа ( $A-B-B-B-A$ ), ( $A-A-A-B-A$ ), ( $A-A-B-A-A$ ), ( $A-A-B-A-A$ ), ( $A-A-B-B-B-A$ ) реализуется последняя возможность ( $A-A-B-B-B-A$ ).

Показанная пунктиром элементарная ячейка  $\alpha\text{-O}_2$  иллюстрирует тот факт, что  $\alpha\text{-O}_2$  и HTC  $\delta\text{-O}_2$  имеют одинаковую магнитную структуру.

Влияние магнитных переходов на пространственную структуру практически не зарегистрировано. В частности, температурные зависимости параметров решетки (рис. 10) не имеют особенностей на линиях магнитных фазовых переходов. Как видно на рис. 10, коэффициент теплового расширения  $\delta\text{-O}_2$ , как и в случае  $\alpha\text{-O}_2$  и  $\beta\text{-O}_2$ , анизотропен. В то же время имеются и довольно существенные отличия в поведении теплового расширения трех фаз. Во всех трех фазах коэффи-

циент отрицателен вдоль  $b$ -оси. На основании этого факта Крупский и др. [20] определили знак константы внутри подрешеточного обмена  $J_2$ . В  $\alpha\text{-O}_2$  коэффициент теплового расширения вдоль  $c$ -оси положителен, а в  $\beta\text{-O}_2$  отрицателен. В точке  $\alpha\text{-}\beta$  перехода температурная зависимость межплоскостного расстояния имеет вид характерной  $\lambda$ -аномалии [6,20]. Такое поведение в [6] было интерпретировано как проявление межплоскостных корреляций. Антиферромагнитное межплоскостное притяжение уменьшается с ростом температур, а амплитуда либраций возрастает. Оба фактора приводят к росту межплоскостного расстояния с ростом температуры. Положительный скачок межплоскостного расстояния при  $\alpha\text{-}\beta$  переходе может быть следствием исчезновения дальнего магнитного порядка. В то же время отрицательное тепловое расширение в направлении  $c$ -оси, скорее всего, имеет не магнитный характер, а связано с изменением характера вращательного движения. Как видно на рис. 10, температурное поведение параметров решетки  $\delta\text{-O}_2$  аналогично поведению в  $\beta\text{-O}_2$ . Коэффициент положителен вдоль  $a$ -оси и отрицателен вдоль  $b$ - и  $c$ -осей.

Геометрия плотноупакованных плоскостей и спиновая структура остаются неизменными при  $\alpha\text{-}\delta$  переходе, поэтому и магнитные свойства, которые формируются внутриплоскостными факторами, качественно не претерпевают изменения при фазовом переходе. Одним из таких свойств является отрицательное тепловое расширение вдоль оси  $b$ , наблюдаемое как в  $\alpha$ -, так и  $\delta\text{-O}_2$  (рис. 10). Объяснение этого эффекта для  $\alpha\text{-O}_2$ , предложенное Крупским и др. [6,20], и которое, как отметили Гомонай и Локтев [29], сохраняет силу и для  $\delta\text{-O}_2$ , заключалось в следующем. Имеются два различных механизма, которые вносят вклад в тепловое расширение решетки. Первый из них, приводящий к расширению с ростом температуры, обусловлен ангармонизмом колебаний решетки. Вклад второго механизма, связанного с обменным взаимодействием, может приводить с ростом температуры как к расширению, так и сжатию. Действительно, если данное взаимодействие приводит к отталкиванию, тогда вклад в тепловое расширение, обусловленный уменьшением намагниченности с ростом температуры, будет отрицательным, и наоборот. Как видно на рис. 10, коэффициент теплового расширения вдоль оси  $b$ , т.е. вдоль направления, где внутриподрешеточное взаимодействие наиболее существенно, выше 120 К становится отрицательным (ср. с рис. 13 из работы [6]), что однозначно указывает на наличие дополнительного механизма с отрицательным вкладом. Таким образом, внутриплоскостное внутриподрешеточное обменное взаимодействие в  $\delta\text{-O}_2$  как и в  $\alpha\text{-O}_2$  является антиферромагнитным.

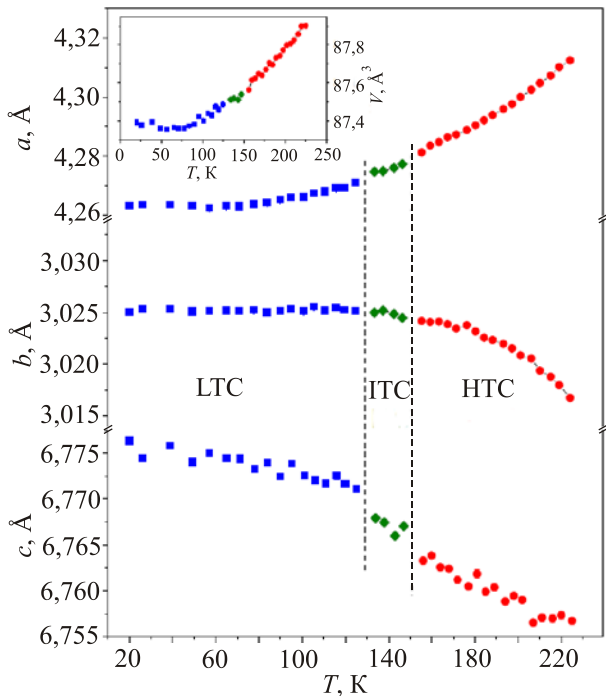


Рис. 10. (Онлайн в цвете) Температурная зависимость параметров решетки и молярного объема (вставка) [28]. Изменение температуры вдоль квазизобарической траектории 1, показанной на рис. 7.

## 2. Теория магнитной структуры $\delta\text{-O}_2$

Теория магнитной структуры и магнитных фазовых переходов в  $\delta\text{-O}_2$  была предложена Гомонай и Локтевым [29].

Магнитная структура  $\alpha\text{-O}_2$  и ближнего магнитного порядка  $\beta\text{-O}_2$  определяется тремя константами обменного взаимодействия: внутриплоскостными константами меж - и внутриподрешеточными  $J_1, J_2$  и межплоскостной константой  $J_3$  (рис. 3). Несмотря на значительный разброс значений констант  $J_1, J_2$ , полученных на основании различных экспериментальных и теоретических исследований ([6], табл. 29), надежно установлено, что эти константы, определяющие внутриплоскостную магнитную структуру, велики по сравнению с константой межплоскостного взаимодействия  $J_1/J_3 \gg 1, J_2/J_3 \gg 1$ .

Соображение о том, что для объяснения магнитной структуры  $\delta\text{-O}_2$  необходимо учитывать обменное взаимодействие между спинами, принадлежащими вторым ближайшим соседним плоскостям, которое пренебрежимо мало при  $P = 0$ , было впервые высказано Гончаренко и др. [27].

Какие обменные взаимодействия между спинами на различных узлах, согласно теории Гомонай и Локтева, необходимо учитывать для объяснения магнитной структуры и магнитных свойств  $\delta\text{-O}_2$ , показаны на рис. 11(а) и 11(б). Коллинеарная магнитная структура и магнитные свойства плотноупакованных плоскостей  $ab$  определяются внутриплоскостными обменными константами межподрешеточного  $J_{ab}$  и внутриподрешеточного  $J_b$  обменного взаимодействий (рис. 11(а)). Возможность реализации различных магнитных структур, отличающихся порядком упаковки плотноупакованных  $ab$ -плоскостей, связана с конкуренцией межплоскостных обменных взаимодействий с константами  $J_{bc}, J_{ac}$  и  $J_c$ , показанных на рис. 11 (б). Действительно, взаимная ориентация NN (next nearest) спинов зависит от знака разности  $J_{bc} - J_{ac}$ . Если  $J_{bc} < J_{ac}$ , структура НТС является энергетически выгодной. В противоположном случае  $J_{ac} < J_{bc}$  более выгодной является структура LTC. В случае  $J_{ac} = J_{bc}$  реализуется ITC структура.

Для исследования роли межплоскостного обменного взаимодействия в формировании равновесной магнитной структуры  $\delta\text{-O}_2$  Локтев и Гомонай [28] свели проблему минимизации выражения для магнитной энергии к одномерной модели Изинга с учетом вторых ближайших соседей. В предположении, что внутриплоскостная магнитная структура фиксирована, трехмерная магнитная структура однозначно описывается набором изинговских переменных  $\sigma = +1, -1$  (рис. 12). Параметры  $\sigma_p$  описывают ферромагнитное ( $\sigma_p = +1$ ) или антиферромагнитное ( $\sigma_p = -1$ ) взаимодействие спинов в двух соседних плотноупакованных плоскостях.

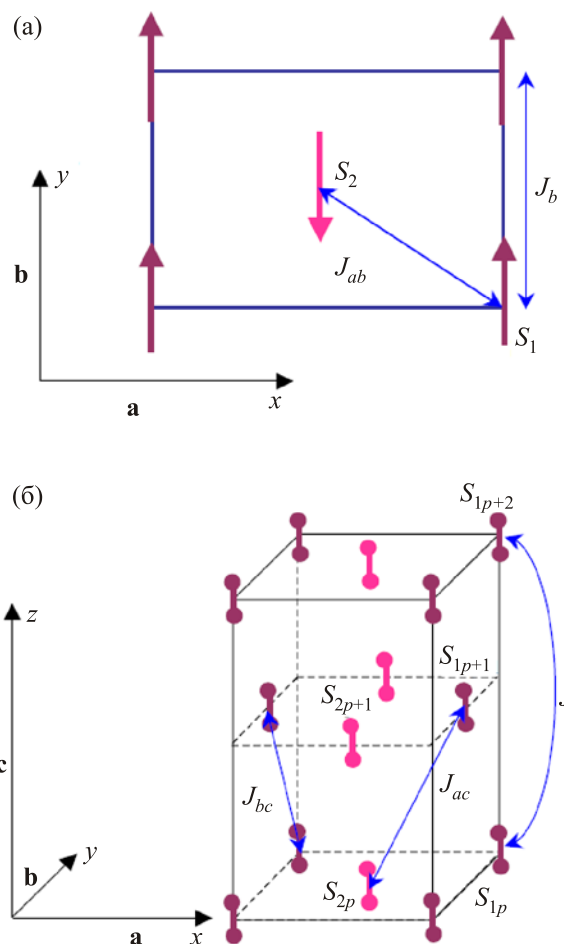


Рис. 11. (Онлайн в цвете) Структура магнитных подрешеток в  $\delta\text{-O}_2$  [29]. Стрелками показаны основные магнитные взаимодействия:  $J_b$  и  $J_{ab}$  — внутриплоскостные внутри- и межподрешеточные обменные константы (а);  $J_{ac}, J_{bc}$  — константы обменного взаимодействия между соседними  $ab$ -плоскостями (б),  $J_c$  — константа обменного взаимодействия между вторыми ближайшими соседними плоскостями вдоль оси  $c$ . Спины  $S_{1p}$  и  $S_{1p+1}$  параллельны и антипараллельны в структурах LTC и НТС, в структуре ITC параллельная и антипараллельная ориентации спинов альтернируют через слой.

В терминах псевдоспина выражение для магнитной энергии имеет вид

$$W_{\text{mag}} = \left(2M_0^2/N\right) \sum_p [\Delta J_c \sigma_p + J_c \sigma_p \sigma_{p+1}].$$

Величина  $\Delta J_c = J_{bc} - J_{ac}$  играет роль эффективного поля, которое в отсутствие NNN взаимодействия ( $J_c = 0$ ) стремится упорядочить все спины параллельно. Такое ферромагнитное упорядочение порождает LTC ( $\sigma_p = +1, \Delta J_c < 0$ ) или НТС ( $\sigma_p = -1, \Delta J_c > 0$ ). В свою очередь, обменное взаимодействие между следующими за ближайшими соседями  $J_c$  ответственно за взаимодействие между соседними псевдоспинами. Если  $J_c < 0$  (ферромагнитное взаимодействие между реальными спинами

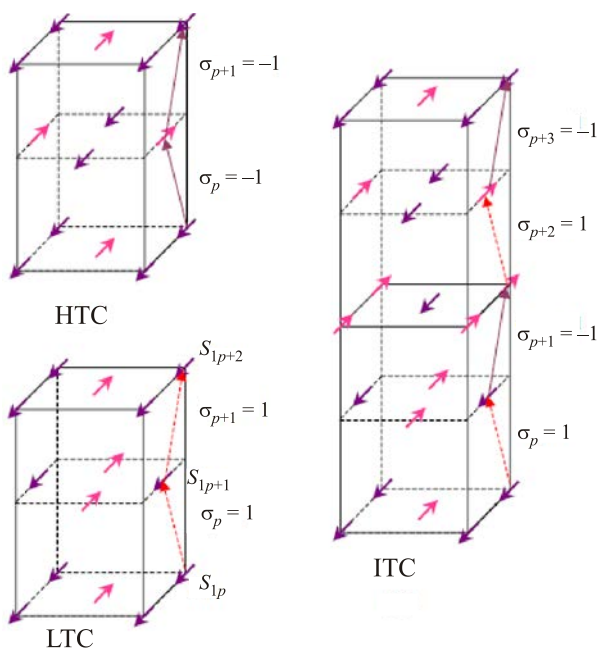


Рис. 12. (Онлайн в цвете) Описание трех типов магнитного упорядочения в  $\delta\text{-O}_2$  с помощью изинговских переменных  $\sigma = +1, -1$ . Параметры  $\sigma_p$  описывают ферромагнитное ( $\sigma_p = +1$ ) или антиферромагнитное ( $\sigma_p = -1$ ) взаимодействия спинов в двух соседних плотноупакованных плоскостях.

ми), ферромагнитное взаимодействие предпочтительно (LTC или HTC структуры). Однако, если обменное взаимодействие между NNN (next next nearest) соседями является антиферромагнитным,  $J_c > 0$ , тогда антиферромагнитное упорядочение псевдоспинов ( $\sigma_{2p} = 1$ ,  $(\sigma_{2p+1} = -1)$ , которое соответствует ITC структуре, является предпочтительным. Таким образом, изменение межплоскостных констант обменного взаимодействия может приводить к последовательности фазовых переходов между HTC, ITC и LTC структурами.

В качестве причины, которая делает возможным конкуренцию взаимодействий между спинами на ближайших и вторых соседних плоскостях, Гомонай и Локтев [29] указали на резко анизотропную угловую зависимость обменных констант, немонотонно зависящих от расстояния, которые были обнаружены в *ab initio* расчетах ван Хемертом, Уормером и ван дер Авоирдом [30,31].

Хорошим тестом предложенной модели послужило сравнение рассчитанных и полученных экспериментально [29] температурных зависимостей ряда основных параметров решетки  $\delta\text{-O}_2$  (относительного изменения объема  $\Delta V/V$ , параметра ромбoidalной деформации элементарной ячейки в базисной плоскости  $u_{rh} = \Delta a/a_0 - b/b_0 = u_{xx} - u_{yy}$  и относительного изменения межплоскостного расстояния  $\Delta c/c_0 = u_{zz}$ ). Результаты сравнения представлены на рис. 13.

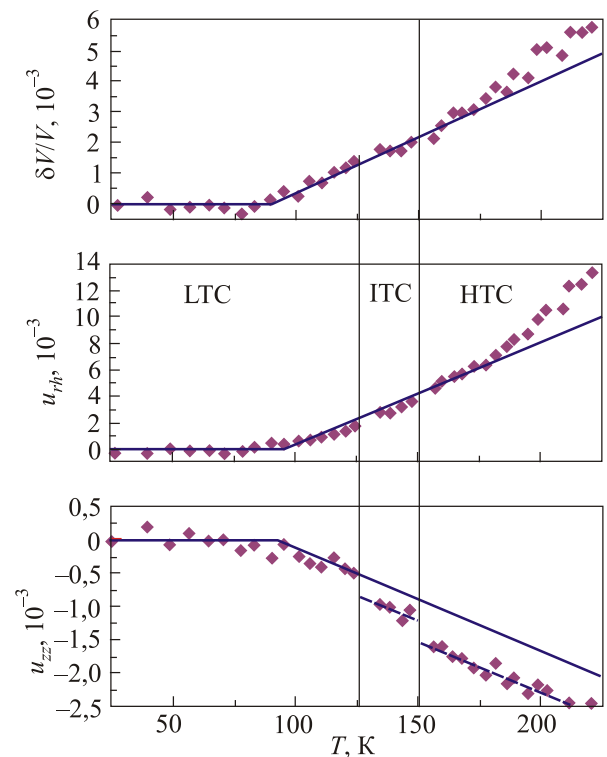


Рис. 13. (Онлайн в цвете) Температурная зависимость относительного изменения объема  $\Delta V/V$ , параметра ромбoidalной деформации элементарной ячейки в базисной плоскости  $u_{rh} = \Delta a/a_0 - b/b_0 = u_{xx} - u_{yy}$  и относительного изменения межплоскостного расстояния  $\Delta c/c_0 = u_{zz}$  [29]. Точки — экспериментальные данные Клотц и др. [28], сплошные линии — теория Гомонай и Локтева [29].

### 3. Магнитный коллапс в $\epsilon$ -фазе

При низких температурах фазовый переход  $\delta\text{-}\epsilon$  происходит при давлении 7,6 ГПа; давление перехода возрастает с увеличением температуры и при давлении  $\sim 11$  ГПа и температуре  $\sim 350$  К линия  $\delta\text{-}\epsilon$  переходит в линию  $\beta\text{-}\epsilon$  перехода [6]. При давлении  $\sim 100$  ГПа происходит переход в металлическую  $\zeta$ -фазу. Таким образом,  $\epsilon$ -фаза занимает основную часть исследованной области фазовой диаграммы.

Естественно, основной задачей всех исследований  $\epsilon$ -фазы был вопрос о ее природе. Структурные рентгеновские исследования [32,33] показали, что  $\delta\text{-}\epsilon$  переход сопровождается громадным скачком объема  $\sim 5\text{--}6\%$ , что указывало на радикальный характер изменений при этом переходе.

Флорентийская группа на основе оптических исследований [34–38] (см. обзор [6]) выдвинула гипотезу о том, что  $\delta\text{-}\epsilon$  переход вызывается спариванием молекул  $\text{O}_2$  с образованием молекулы  $\text{O}_4$ , имеющей синглетное основное состояние. Это означало бы, что  $\delta\text{-}\epsilon$  переход сопровождается магнитным коллапсом и что таким образом  $\epsilon$ -фаза является немагнитной. Однозначный

ответ на вопрос о магнитной природе  $\epsilon$ -фазы могли дать измерения ее магнитных свойств.

Нейтронографические исследования  $\epsilon$ -фазы были впервые проведены Гончаренко [39]. На рис. 14 представлены нейтронограммы, полученные при давлениях 3,8–9,5 ГПа. При повышении давления от 3,8 до 7,6 ГПа нейтронограммы иллюстрировали трансформацию магнитной структуры. При  $P = 3,8$  ГПа на нейтронограмме имеется один пик (для удаления структурных пиков немагнитной природы спектры, снятые в парамагнитной области, вычитались из низкотемпературных спектров), характерный для  $\alpha$ -фазы. При повышении давления до 6,2 ГПа на нейтронограмме наряду с рефлексом от  $\alpha$ -фазы появляется пик, характерный для  $\delta$ -фазы, — образец находится в двухфазном состоянии. С ростом давления интенсивность рефлекса  $\alpha$ -фазы уменьшается, а  $\delta$ -фазы увеличивается, пока при давлении  $\sim 7,6$  ГПа весь образец не оказывается в однофазном состоянии и на рентгенограмме остается только рефлекс  $\delta$ -фазы. При давлениях выше  $\sim 8$  ГПа происходит переход в  $\epsilon$ -фазу. Структурный переход сопровождается резким изменением магнитной дифрактограммы. При  $P = 8,7$  ГПа ( $T = 4$  К) и  $P = 9,5$  ГПа ( $T = 1,5$  К) на нейтронограммах отсутствуют магнитные дифракционные пики. Отсутствие магнитных рефлексов свидетельствует об отсутствии в  $\epsilon$ -фазе дальнего магнитного порядка. При понижении давления до 6,7 ГПа картина магнитного рассеяния восстанавливается — появляются магнитные дифракционные пики, свидетельствующие о наличии дальнего магнитного порядка.

На основании полученной информации о немагнитной природе  $\epsilon$ -фазы Гончаренко сделал вывод об отсутствии дальнего магнитного порядка в области  $\delta$ -фазы при  $P > 8$  ГПа,  $T > \sim 120$  К (незаштрихованный участок на рис. 15). Относительно возможной причины отсутствия дальнего магнитного порядка в этой области фазовой диаграммы Гончаренко привел следующие соображения. Согласно фазовой диаграмме рис. 15, на участке  $T > \sim 120$  К, давление  $\delta$ – $\epsilon$  перехода увеличивается с ростом температуры, и, таким образом, в диапазоне давлений 8 ГПа  $< P <$  12 ГПа при постоянном давлении при температурах выше  $T_{\delta} - \epsilon$  фаза  $\epsilon$  трансформируется в  $\delta$ -фазу. Если в  $\epsilon$ -фазе дальний магнитный порядок отсутствует, переход в магнитоупорядоченную  $\delta$ -фазу означал бы, что появление дальнего магнитного порядка происходит при повышении температуры. Хотя такой индуцированный температурой магнетизм не запрещен физическими законами, экспериментально такое явление не наблюдается.

Таким образом, в работе Гончаренко [39] было высказано предположение, что в области существования орторомбической  $Fm\bar{m}\bar{m}$   $\delta$ -фазы реализуются две различные магнитные структуры  $\delta$ -I и  $\delta$ -II. Хотя аргументация Гончаренко физически вполне обоснована, эта гипотеза выглядит несколько экзотически, поскольку в твердом кислороде во всех известных фазах существует жесткая корреляция между структурными и магнитными свойствами.

В работе [40] методы ИК спектроскопии были использованы для проверки, является ли  $\delta$ -II фаза антиферромагнитной, т.е. гипотеза Гончаренко была подвергнута экспериментальной проверке. На рис. 16 показаны точки

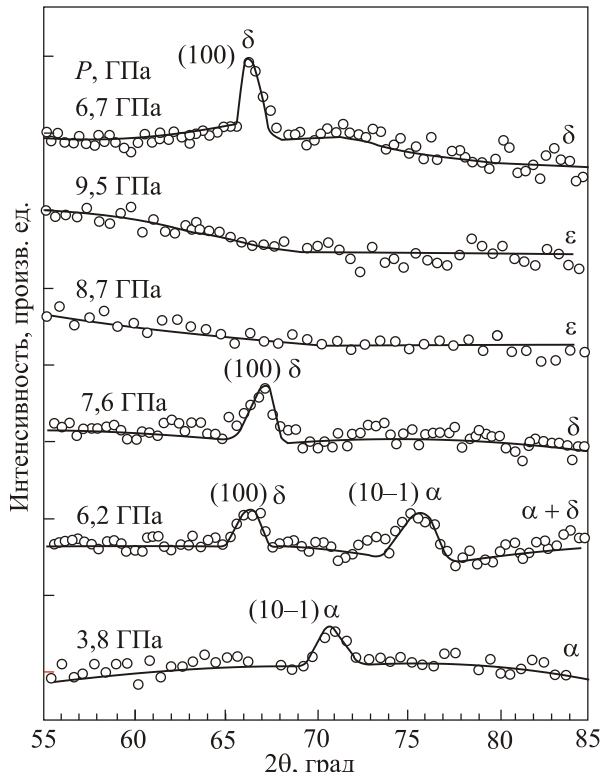


Рис. 14. Магнитные нейтронограммы, полученные при температурах 1,5–4 К и давлениях 3,8–9,5 ГПа [39].

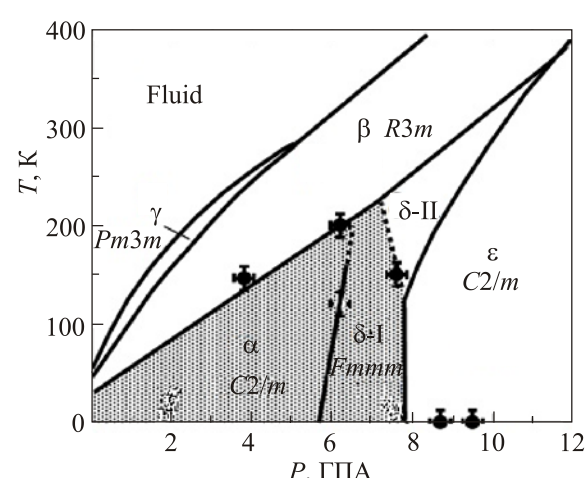


Рис. 15. Гипотетический вид фазовой диаграммы, показывающей наличие области  $\delta$ -II (при  $T > 120$  К), в которой дальний магнитный порядок отсутствует (согласно Гончаренко [39]).

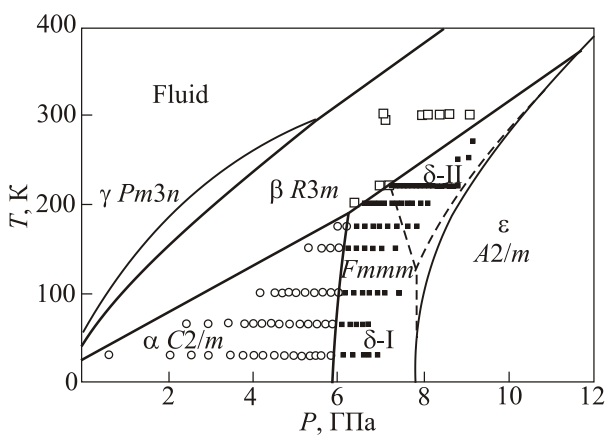


Рис. 16. Уточнение фазовой диаграммы кислорода по данным ИК спектроскопии [40]. Пунктирные линии – предполагаемые границы  $\delta$ -II фазы. Символы — данные ИК спектроскопии, показывающие принадлежность данной точки к определенной области фазовой диаграммы (согласно [40]).

на  $P$ – $T$  фазовой диаграмме, в которых регистрировались ИК спектры для определения принадлежности данной точки к определенной области фазовой диаграммы.

На рис. 17 показаны ИК спектры поглощения на частоте вибровной моды  $\sim 1500 \text{ см}^{-1}$  и фононного крыла в области частот  $1600$ – $1800 \text{ см}^{-1}$  при сканировании вдоль изотермы 200 К (220 К при 8,76 ГПа и 250 К при 9,05 ГПа). Как видно на рис. 17, вибровный пик присутствует вдоль всей изотермы 200 К, но исчезает при переходе в  $\beta$ -фазу.

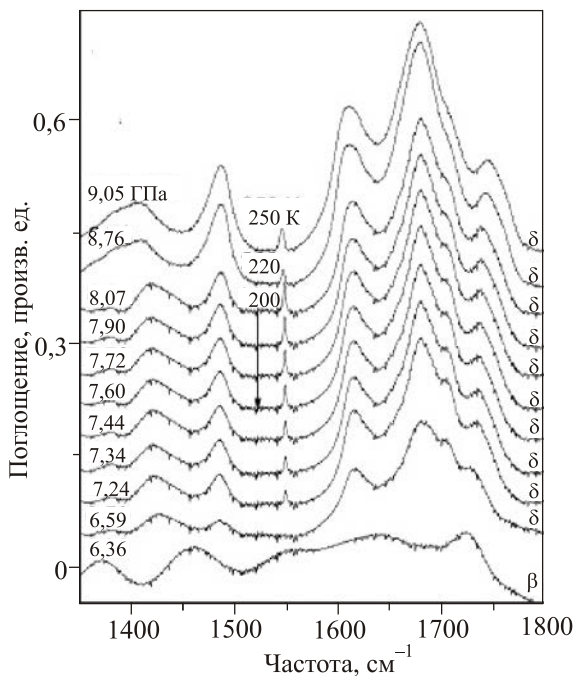


Рис. 17. Спектр ИК поглощения при сканировании вдоль изотермы 200 К (220 К при 8,76 ГПа и 250 К при 9,05 ГПа). Спектры содержат пики поглощения на частоте вибровной моды  $\sim 1500 \text{ см}^{-1}$  и фононного крыла в области частот  $1600$ – $1800 \text{ см}^{-1}$  [40].

Изотерма 200 К пересекает гипотетическую границу  $\delta$ -I– $\delta$ -II перехода при давлении  $\sim 7,3$  ГПа, где ни в вибровной области спектра, ни в области фононных крыльев не наблюдается никаких особенностей. Наличие ИК поглощения на частоте вибровна фактически является доказательством наличия дальнего магнитного порядка в области  $\delta$ -II, где, согласно гипотезе Гончаренко, предполагалось его отсутствие. Два спектра, полученные для изотерм 220 и 250 К (рис. 17), демонстрируют наличие вибровных пиков ИК поглощения глубоко внутри области гипотетической  $\delta$ -II фазы при давлениях выше давления  $\delta$ – $\epsilon$  перехода при низких температурах. Это наблюдение показывает, что твердый кислород, по-видимому, единственное известное вещество, в котором происходит магнитное упорядочение при возрастании температуры. Немагнитная  $\epsilon$ -фаза, существующая при низких температурах, переходит в магнитную  $\delta$ -фазу при повышении температуры. Это экзотическое поведение не запрещено первыми принципами, поскольку  $\epsilon$ -фаза не парамагнитная и такое явление не является магнитным переходом беспорядок–порядок. Эта кажущаяся аномальным индуцированное температурой упорядочение в действительности есть трансформацией молекулярного состояния, которое происходит при  $\delta$ – $\epsilon$  фазовом переходе. Структурной компонентой  $\epsilon$ -фазы при низких температурах является диамагнитная молекула  $O_8$  [41,42], а в антиферромагнитной  $\delta$ -фазе при более высоких температурах молекула  $O_2$ , которая в основном молекулярном состоянии обладает спином  $S = 1$ .

#### 4. Структура $\epsilon$ -фазы

Результаты работ [39,40], казалось бы, исчерпывают возможные интересные проблемы в исследованиях магнитных свойств твердого кислорода под давлением. Однако оказалось, что такой вывод несколько преждевременен. Прежде чем вернуться к обсуждению магнитных свойств, рассмотрим результаты работ, посвященные структурным свойствам  $\epsilon$ -фазы.

Усилия почти трех десятилетий по расшифровке структуры  $\epsilon$ - $O_2$  завершились в 2006 г. одновременной публикацией результатов работ двух групп [41,42]. Было обнаружено, что наряду с хорошо известными молекулами  $O_2$  и  $O_3$ , существующими в свободном состоянии, в твердом кислороде под давлением  $\sim 8$  ГПа возникает еще одна модификация кислорода, которая может быть описана структурной формулой  $(O_2)_4$  [43].

В работах [41,42] были проведены рентгенодифракционные эксперименты в сочетании с методами высоких давлений, основанных на использовании алмазных наковален. В то время как Ландегаард и др. [41] изучали монокристаллические образцы, Фуджихиса и др. [42] исследовали поликристаллические порошковые образцы. Результаты обоих исследований совпали —

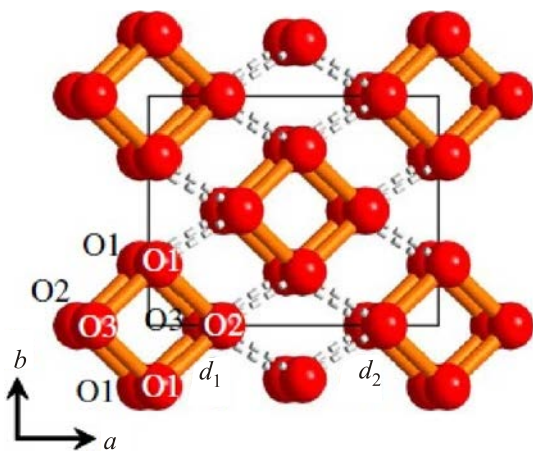


Рис. 18. (Онлайн в цвете) Структура  $\epsilon$ - $O_2$  (согласно [41,42]).

была найдена уникальная структура  $\epsilon$ -фазы, в которой молекулы  $O_2$  сохраняют свою индивидуальность, но возникающая дополнительная связь приводит к образованию кластеров, состоящих из квартетов молекул (рис. 18). Как следует из нейтронографических данных [39], при  $\delta$ – $\epsilon$  переходе происходит коллапс дальнего антиферромагнитного неелевского порядка. Однако эти результаты ничего не говорят о том, какую роль в свойствах  $\epsilon$ - $O_2$  могут продолжать играть спины индивидуальных молекул. Этому вопросу посвящена работа Креспо, Фабрицио, Скандоло и Тосатти [43].

## 5. Теоретические исследования магнитных свойств $\epsilon$ -фазы

Как было отмечено Гомонай и Локтевым [44], магнитный коллапс — исчезновение магнитных свойств — может происходить в результате связывания двух, трех и, вообще говоря, любого количества молекул с образованием комплексов, имеющих синглетное основное состояние.

Наличие таких комплексов наблюдалось в оптических спектрах  $\alpha$ - $O_2$  [45]. Гомонай и Локтев [44] нашли волновые функции синглетных состояний и показали, что обменная энергия основного состояния квадруплетов, образующих комплексы  $O_8$ , ниже, чем у комплексов, образованных димерами  $2O_2$  и тримерами  $3O_2$  молекул.

Как и в случае исследования магнитных свойств  $\delta$ - $O_2$ , для ответа на вопрос, что происходит с магнитной подсистемой при  $\delta$ – $\epsilon$  переходе, оказалось важным привлечь к анализу данные рамановских и ИК исследований. Имеется ряд экспериментальных свидетельств, что в пределах области существования свойства  $\epsilon$ -фазы неоднородны и имеются отличия в поведении в диапазоне давлений 8–20 ГПа и в области более высоких давлений [24,34,37,46,47]. При низкотемпературном исследовании  $\epsilon$ -фазы Картер и др. [46] обнаружили, что при давлении  $\sim 20$  ГПа происходит расщепление либрационных мод (рис. 19(а),(б)), кото-

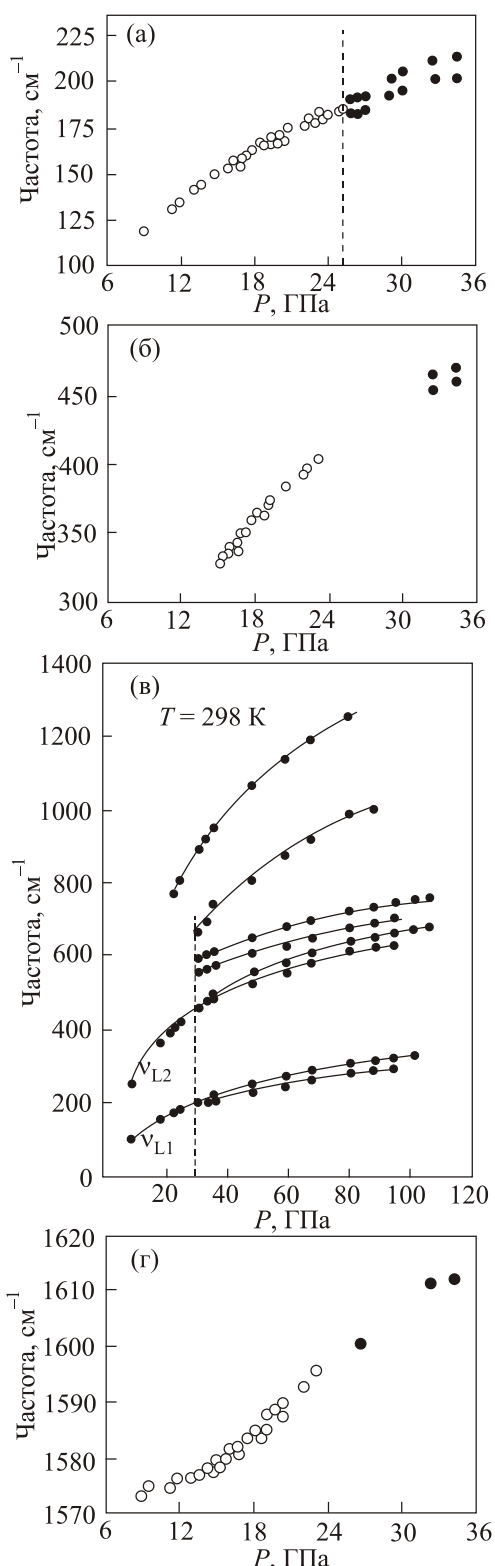


Рис. 19. Зависимость рамановских частот от давления: (а), (б) [6,46], (в) [6,47] — либрационные частоты; (г) [6,46] — вибронная мода.

рое авторы интерпретировали как новый фазовый переход. В то же время расщепление вибронной моды не наблюдалось (рис. 19(г)). В работе [47] исследование поведения либрационных мод от давления (при ком-

нных температурах) было распространено на весь диапазон существования  $\epsilon$ -фазы (рис. 19(в)).

Дополнительная важная информация была получена в оптических исследованиях [35]. На рис. 20 представлена зависимость частот рамановской и ИК вибранной моды от давления. Зависимость частоты ИК моды от давления обнаруживает немонотонность: ниже 20 ГПа спад сменяется ростом. При этом частота высокочастотной рамановской моды приближается к тому значению, которое она имеет в  $\delta$ - $O_2$  при 8 ГПа на фазовой границе между  $\delta$ - и  $\epsilon$ -фазами. Точка 20 ГПа разделяет области с разной скоростью изменения рамановской частоты при изменении давления. Таким образом, поведение обеих мод при изменении давления, возможно, указывает на смену состояний отдельной молекулы  $O_2$  от состояния  $S = 0$  в состояние  $S = 1$ , которое происходит в окрестности точки 20 ГПа. Зависимость разности частот рамановской и ИК мод от наличия спина связана с индуцированным зарядом, возникающим на молекулах, колеблющихся в противофазе (в случае ИК колебаний) и отсутствующим в случае рамановской моды, когда соседние молекулы колеблются в фазе.

Креспо, Фабрицио, Скандоло и Тосатти [43] рассмотрели модель  $\epsilon$ -фазы, в которой молекулы  $O_2$  либо обладают индивидуальным спином и фаза является антиферромагнитной, либо входят в состав квартета, что приводит к немагнитному состоянию. Результаты DFT расчета (расчет методом функционала плотности) разности энталпий между немагнитным и антиферромагнитным состояниями представлены на рис. 21.

Полученное теоретически [43,48] поведение рамановских и ИК мод от давления (рис. 22) качественно соответствует экспериментальной ситуации, представленной на рис. 20. Согласно интерпретации [43,48], экспериментальные результаты оптических ИК и рамановских исследований [6,35,46,47] (рис. 19, 20), указывают на то, что область фазовой диаграммы  $\epsilon$ - $O_2$

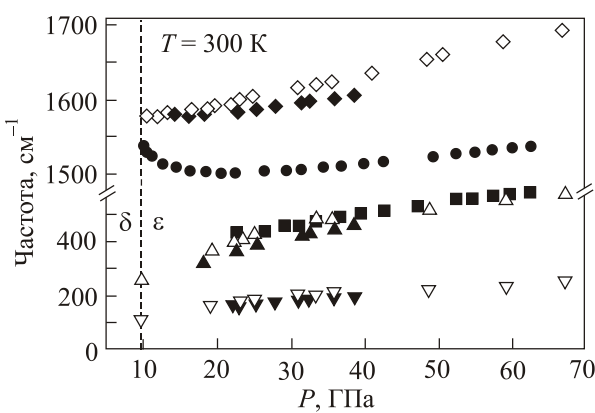


Рис. 20. Зависимость ИК и рамановских частот  $\epsilon$ -фазы от давления (эксперимент [6,35]): рамановские данные ( $\blacklozenge$ ) и ( $\diamond$ ), ИК данные ( $\bullet$ ) и ( $\blacksquare$ ), либрационные моды ( $\blacktriangle$ ), ( $\blacktriangledown$ ), ( $\triangle$ ) и ( $\triangledown$ ).

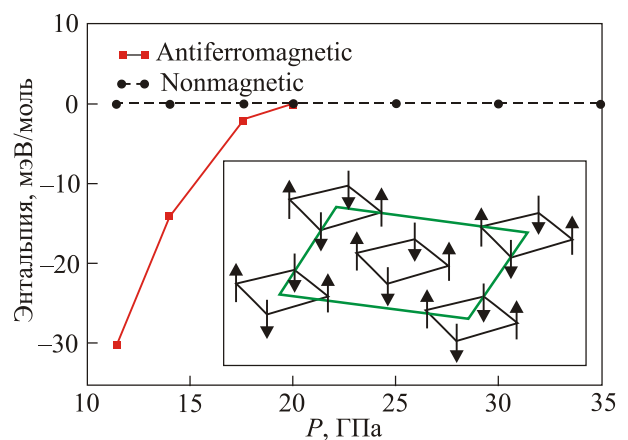


Рис. 21. (Онлайн в цвете) Разность энталпий между немагнитным и антиферромагнитным состояниями в модели [43]. На вставке антиферромагнитная конфигурация внутри квартета  $O_8$ .

представлена двумя фазами; фаза более высокого давления расположена в области давлений 20–96 ГПа. В этой фазе,  $\epsilon_0$ - $O_2$ , молекулярный спин отсутствует, а физические свойства, включая решеточные колебания, могут быть хорошо описаны в рамках модели зонного диэлектрика, щель в спектре которого возникает из-за пайерлского искажения молекулярного квартета.

Вторая фаза,  $\epsilon_1$ - $O_2$ , фаза более низкого давления, расположена между 8 и 20 ГПа. В этой фазе проявляется молекулярный спин, указывающий на существование сильных спиновых корреляций, связанных с искажениями квартета молекул. Неелевский дальний порядок типа того, что есть в  $\alpha$ - и  $\delta$ -фазах, в фазе  $\epsilon_1$ - $O_2$ , как следует из нейтронографических данных Гончаренко [39], отсутствует, но имеется некоторое коррелированное спин-1-жидкостное состояние. Между фазами  $\epsilon_0$ - $O_2$  и  $\epsilon_1$ - $O_2$  имеется линия раздела фаз, начинающаяся в районе 20 ГПа и заканчивающаяся вследствие одинаковой симметрии фаз в критической точке. Согласно оценкам [43], критическая точка лежит в районе  $\sim 30$  ГПа,  $\sim 200$  К. Предполагаемая фазовая диаграмма имеет вид, показанный на рис. 23.

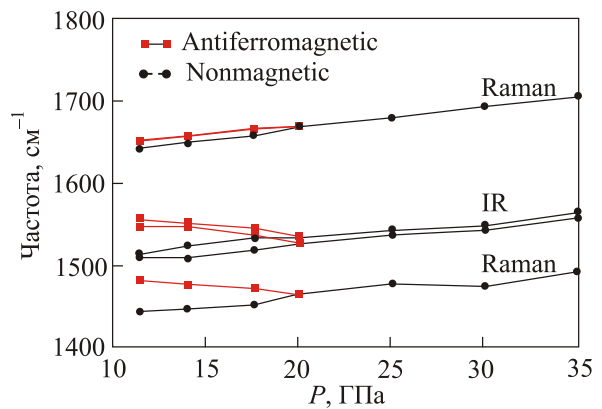


Рис. 22. (Онлайн в цвете) Зависимость ИК и рамановских частот  $\epsilon$ -фазы от давления (теория [43,44]).

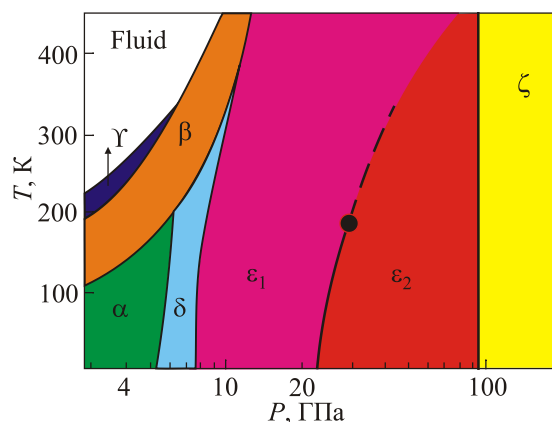


Рис. 23. (Онлайн в цвете) Фазовая диаграмма, показывающая существование  $\varepsilon_1$ - и  $\varepsilon_0$ -фаз и линию раздела фаз, заканчивающуюся критической точкой [43].

Для экспериментального исследования парамагнитного состояния спиновой жидкости фазы  $\varepsilon_1$  наиболее доступной магнитной характеристикой является магнитная восприимчивость. Измерения магнитной восприимчивости твердого кислорода под давлением недавно были выполнены японской группой [49]. Статическая магнитная восприимчивость твердого кислорода при повышенных давлениях была исследована как функция температуры до давлений 3,3 ГПа с использованием магнитометра на сквиде. Давление создавалось с помощью миниатюрной алмазной наковальни, находящейся внутри магнитометра. Вполне реалистично ожидать, что диапазон давлений  $\varepsilon_1$ -фазы вскоре станет доступным для измерений магнитной восприимчивости.

### Заключение

За десятилетие, минувшее после опубликования обзора [6], в котором описаны основные результаты столетних исследований твердого кислорода, в физике твердого кислорода сделан ряд важных открытий. Прежде всего после почти тридцатилетних усилий расшифрована структура красного кислорода,  $\varepsilon\text{-O}_2$  [41,42]. Оказалось, что в  $\varepsilon$ -фазе четверки молекулы объединены в кластеры  $(\text{O}_2)_4$ , имеющие синглетное немагнитное основное состояние, так что  $\delta\text{-}\varepsilon$  переход сопровождается магнитным коллапсом [39]. Развитие техники высоких давлений сделало осуществимыми нейтронные исследования при высоких давлениях. Проведены нейтронографические исследования  $\delta$ - и  $\varepsilon$ -фаз твердого кислорода [27,28,39]. В пределах области существования  $\delta$ -фазы обнаружено существование трех различных магнитных структур. Теоретическая модель эволюции магнитных структур с ростом давления предложена в работе [29]. Обнаруженное почти 25 лет назад расщепление либрационных спектров в низкотемпературной области при давлениях  $\sim 20$  ГПа [46] было предположительно интерпретировано авторами

как фазовый переход. Согласно теоретической модели [43], точка 20 ГПа разделяет всю область существования  $\varepsilon$ -фазы (8–96 ГПа) на две фазы. В фазе  $\varepsilon_0\text{-O}_2$  (20–96 ГПа) молекулы находятся в состоянии  $S = 0$ , т.е. фаза является немагнитной, в то время как в фазе  $\varepsilon_1\text{-O}_2$  (8–20 ГПа) молекулы имеют спин  $S = 1$ , но дальний магнитный порядок отсутствует. Согласно [43,49], линия фазовых переходов первого рода между фазами  $\varepsilon_0$  и  $\varepsilon_1$  заканчивается критической точкой.

Наиболее перспективной экспериментальной методикой для проверки предсказываемых теорией свойств спиновой жидкости фазы  $\varepsilon_1$  являются измерения магнитной восприимчивости с использованием сквидового магнитометра, внутри которого находится миниатюрная алмазная наковальня [49]. Совершенствование разработанной методики позволит провести измерения магнитной восприимчивости  $\varepsilon_1$ -фазы.

Автор благодарен А.С. Ковалеву за интерес к работе и полезное обсуждение.

1. W. Ramsay, *The Gases of the Atmosphere (the History of their Discovery)*, MacMillan and Co, London (1896).
2. T. Estreicher, *Bull. Int. de l'Acad. Des Sciences de Cracovia* (1903), 836.
3. M. Santoro, E. Gregoryanz, H-k Mao, and R.J. Hemley, *Phys. Rev. Lett.* **93**, 265701 (2004).
4. G. Weck, S. Desgreniers, P. Loubeyre, and M. Mezouar, *Phys. Rev. Lett.* **102**, 255503 (2009).
5. Alexander F. Goncharov, N. Subramanian, T.R. Ravindran, M. Somayazulu, V.B. Prakapenka, and Russell J. Hemley, *J. Chem. Phys.* **135**, 084512 (2011).
6. Yu.A. Freiman and H.J. Jodl, *Phys. Rep.* **401**, 1 (2004).
7. S. Desgreniers, Y. Vohra, and A. Ruoff, *J. Phys. Chem.* **94**, 1117 (1990),
8. K. Shimizu, K. Suhara, M. Ikumo, M.I. Eremets, and K. Amaya, *Nature* **393**, 767 (1998).
9. Jian Sun, M. Martinez-Canales, D.D. Klug, C.J. Pickard, and R.J. Needs, *Phys. Rev. Lett.* **108**, 045503 (2012).
10. C.S. Barrett, L. Meyer, and G. Wasserman, *J. Chem. Phys.* **47**, 592 (1967).
11. М. Фарадей, *Экспериментальные исследования по электричеству*, Изд.-во АН СССР, Москва, т. 1 (1947), т. 2 (1951), т. 3 (1959).
12. J. Dewar, *Proc. Roy. Soc. (London) A* **50**, 10 (1891).
13. H. Kamerlingh Onnes and A. Perrier, *Leiden Commun.* **116**, 1 (1910).
14. W. Giauque and H. Johnston, *J. Amer. Chem. Soc.* **51**, 2300 (1929).
15. R. A. Alikhanov, *ЖЭТФ* **45**, 812 (1963).
16. M.F. Collins, *Proc. Phys. Soc.* **89**, 415 (1966).
17. В.М. Локтев, *ФНТ* **5**, 295 (1979) [*Sov. J. Low Temp. Phys.* **5**, 142 (1979)].
18. Р.А. Алиханов, *Письма в ЖЭТФ* **5**, 430 (1967).
19. И.А. Бурахович, И.Н. Крупский, А.И. Прохватилов, Ю.А. Фрейман, А.И. Эренбург, *Письма в ЖЭТФ* **25**, 37 (1977).

20. И.Н. Крупский, А.И. Прохватилов, Ю.А. Фрейман, А.И. Эренбург, *ФНТ* **5**, 271 (1979) [*Sov. J. Low Temp. Phys.* **5**, 130 (1979)].
21. В.А. Слюсарев, Ю.А. Фрейман, Р.П. Янкелевич, *Письма в ЖЭТФ* **30**, 292 (1979); В.А. Слюсарев, Ю.А. Фрейман, Р.П. Янкелевич, *ФНТ* **6**, 219 (1980) [*Sov. J. Low Temp. Phys.* **6**, 105 (1980)].
22. M. Nicol, K.R. Hirsh, and W.B. Holzapfel, *Chem. Phys. Lett.* **68**, 49 (1979).
23. D. Schiferl, D. Cromer, L.A. Schwalbe, and R.L. Mills, *Acta Cryst. B* **39**, 153 (1983).
24. F. Gorelli, L. Ulivi, M. Santoro, and R. Bini, *Phys. Rev. B* **62**, R3604 (2000).
25. M. Santoro, F. Gorelli, L. Ulivi, R. Bini, and H. Jodl, *Phys. Rev. B* **64**, 064428 (2001).
26. Ю.А. Фрейман, *ФНТ* **16**, 955 (1990) [*Sov. J. Low Temp. Phys.* **16**, 559 (1990)].
27. I.N. Goncharenko, O.L. Makarova, and L. Ulivi, *Phys. Rev. Lett.* **93**, 055502 (2004).
28. S. Klotz, Th. Strassle, A.L. Cornelius, J. Philippe, and Th. Hansen, *Phys. Rev. Lett.* **104**, 115501 (2010).
29. E.V. Gomonay and V.M. Loktev, *Phys. Rev. B* **82**, 134422 (2010); Е.В. Гомонай, В.М. Локтев, *ФНТ* **31**, 1002 (2005) [*Low Temp. Phys.* **31**, 763 (2005)]; Е.В. Гомонай и В.М. Локтев, *Fiz. Nizk. Temp.* **33**, 711 (2007) [*Low Temp. Phys.* **33**, 538 (2007)].
30. M.C. van Hemert, P.E.S. Wormer, and A. van der Avoird, *Phys. Rev. Lett.* **51**, 1167 (1983).
31. P.E.S. Wormer and A. van der Avoird, *J. Chem. Phys.* **81**, 1929 (1984).
32. B. Olinger, R.L. Mills, and R.B. Roof, Jr., *J. Chem. Phys.* **81**, 5086 (1984).
33. Y. Akahama, H. Kawamura, D. Hausermann, M. Hansfland, and O. Shimomura, *Phys. Rev. Lett.* **74**, 4690 (1995).
34. F. Gorelli, L. Ulivi, M. Santoro, and R. Bini, *Phys. Rev. Lett.* **83**, 4093 (1999).
35. F. Gorelli, L. Ulivi, M. Santoro, and R. Bini, *Phys. Rev. B* **63**, 104110 (2001).
36. F. Gorelli, L. Ulivi, M. Santoro, and R. Bini, *Phys. Rev. B* **60**, 6179 (1999).
37. F. Gorelli, L. Ulivi, M. Santoro, and R. Bini, *Physica B* **265**, 49 (1999).
38. M. Santoro, F. Gorelli, L. Ulivi, R. Bini, and H.J. Jodl, *Phys. Rev. B* **64**, 064428 (2001).
39. I.N. Goncharenko, *Phys. Rev. Lett.* **94**, 205701 (2005).
40. F. Gorelli, M. Santoro, R. Bini, and L. Ulivi, *Phys. Rev. B* **77**, 132103 (2008).
41. L.F. Lundgaard, G. Weck, M.I. McMahon, S. Desgreniers, and P. Loubeyre, *Nature* **443**, 201 (2006).
42. H. Fujihisa, Y. Akahama, H. Kawamura, Y. Ohishi, O. Shimomura, H. Yamawaki, M. Sakashita, Y. Gotoh, S. Takeya, and K. Honda, *Phys. Rev. Lett.* **97**, 085503 (2006).
43. Yanier Crespo, Michele Fabrizio, Sandro Scandolo, and Erio Tosatti, *PNAS* **111**, 10427 (2014).
44. E.V. Gomonay and V.M. Loktev, *Phys. Rev. B* **76**, 094423 (2007).
45. Y. Gaididei, L. Glushkov, V. Loktev, V. Pavloschuk, A. Prihotko, and L. Shanskii, *Fiz. Nizk. Temp.* **3**, 549 (1977) [*Sov. J. Low Temp. Phys.* **3**, 368 (1977)].
46. W.B. Carter, D. Schiferl, M.L. Lowe, and D. Gonzales, *J. Phys. Chem.* **95**, 2516 (1991).
47. Y. Akahama and H. Kawamura, *Phys. Rev. B* **54**, 15602 (1996).
48. T. Anh Pham, R. Gebauer, and S. Scandolo, *Solid. State Commun.* **149**, 160 (2009).
49. M. Mito, S. Yamaguchi, H. Tsuruda, H. Deguchi, and M. Ishizuka, *J. Appl. Phys.* **115**, 013903 (2014).

## Magnetic properties of solid oxygen under the pressure (Review Article)

Yu.A. Freiman

Solid oxygen is a unique crystal combining properties of a simple molecular solid and of a magnet. Unlike ordinary magnets, the exchange interaction in solid oxygen acts on a background of weak Van der Waals forces, providing a significant part of the total lattice energy. Therefore, the magnetic and lattice properties in solid oxygen are very closely related which manifests itself in a very rich phase diagram and in numerous anomalies of thermal, magnetic, and optical properties. Low-temperature low-pressure  $\alpha$ -O<sub>2</sub> is a two-sublattice collinear Neel antiferromagnet. At pressures of  $\sim 6$  GPa  $\alpha$ -O<sub>2</sub> transforms into  $\delta$ -O<sub>2</sub> which at increasing temperatures displays three different magnetic structures. At  $\sim 8$  GPa it transforms into  $\epsilon$ -O<sub>2</sub>. In this transition O<sub>2</sub> molecules unite into four-molecular clusters (O<sub>2</sub>)<sub>4</sub>. This transformation is accompanied by a magnetic collapse. This review describes the evolution of the magnetic structure with increasing pressure, and analyzes the causes that underlie this evolution.

PACS: 61.50.Ks Crystallographic aspects of phase transformations; pressure effects;  
62.50.-p High-pressure effects in solids and liquids.

Keywords: solid oxygen, magnetic structures, clusters.